



انجمن علمی پرتو ایران

مقاله پژوهشی

مجله سنجش و اینمی پرتو، جلد ۷، شماره ۳، تابستان ۱۳۹۸، صفحه ۲۸-۱۹

تاریخ دریافت مقاله: ۱۳۹۸/۰۶/۱۱، تاریخ پذیرش مقاله: ۱۳۹۸/۰۶/۱۱



محاسبه‌ی بازده آشکارساز HPGe به دو روش تجربی و شبیه‌سازی برای چشم‌های حجیم خاکی

محمد رضا صافی^{*}، احمد شیرانی و خالد رحمانی

دانشکده فیزیک، دانشگاه صنعتی اصفهان، اصفهان، ایران.

^{*}اصفهان، دانشگاه صنعتی اصفهان، دانشکده فیزیک، کد پستی: ۸۴۱۵۶۸۳۱۱۱

پست الکترونیکی: safim61@yahoo.com

چکیده

امروزه در مراکز تحقیقاتی بررسی نمونه‌های محیطی از نظر پرتوزایی برای تشخیص میزان سلامت محیط زیست مورد توجه قرار گرفته است. برای تعیین مواد پرتوزا و فعالیت آن‌ها در این نمونه‌ها نیاز به چشم‌های مرجع است. این چشم‌های بسته به نوع نمونه با استانداردهای تولید می‌شوند. یکی از ابزارهای اساسی و دقیق در تعیین مواد پرتوزا و فعالیت آن‌ها به ویژه فعالیت‌های ضعیف در نمونه‌های محیطی، آشکارساز HPGe می‌باشد. برای تعیین این مواد پرتوزا و فعالیت آن‌ها در نمونه‌های محیطی لازم است ابتدا آشکارساز توسط چشم‌های مرجع و استاندارد که هم‌جنس و هم‌شکل با نمونه‌های محیطی و مجھول می‌باشند، درجه‌بندی شده و بازده آشکارساز در گستره‌ی قابل ملاحظه‌ای از انرژی که مورد نیاز است محاسبه گردد. دقیق‌ترین روش برای تعیین بازده آشکارساز، اندازه‌گیری تجربی با استفاده از چشم‌های مرجع و استاندارد است. با توجه به زمان‌بر بودن و در بعضی موارد مشکل بودن این روش، استفاده از روش شبیه‌سازی برای تخمین بازده آشکارساز که در زمان کم و با دقت خوب همراه است، ارزشمند است. در قسمت اول این پژوهش بازده آشکارساز برای چشم‌های حجیم استاندارد خاکی به دو روش تجربی و شبیه‌سازی برای بازدهی انرژی 121 keV تا 1408 keV تعیین گردیده است. در محاسبه‌ی بازده به روش شبیه‌سازی از کد مونت‌کارلوی MCNP استفاده شد که نتایج آن سازگاری نسبتاً خوبی با نتایج تجربی داشت. در قسمت دوم با استفاده از این بازده‌ها و خروجی شبیه‌سازی و همچنین داده‌های تجربی، فعالیت یوروپیوم و سزیوم چشم‌های حجیم که براساس آن‌ها این چشم‌های استاندارد شده است را توسط چشم‌های نقطه‌ای یوروپیوم محاسبه و نشان داده شد که می‌توان از یک چشم‌های نقطه‌ای نیز برای تعیین فعالیت رادیونوکلئیدهای معلوم با فعالیت نامشخص در نمونه‌های حجیم محیطی، استفاده کرد.

کلیدواژگان: بازده، آشکارساز HPGe، چشم‌های حجیم خاکی، روش مونت‌کارلو، کد MCNP، فعالیت چشم‌های حجیم.

۱. مقدمه

حاصل از روش تجربی مقایسه گردید. در قسمت دوم پژوهش نیز فعالیت یوروبیوم و سریوم چشمی حجمی با کمک چشمی نقطه‌ای یوروبیوم با فعالیت مشخص محاسبه گردید و نشان داده شد در صورتی که بازده شبیه سازی با بازده تجربی برابر باشد، می‌توان از چشمی نقطه‌ای نیز برای تعیین فعالیت رادیونوکلئیدهای معلوم و شناخته شده در نمونه‌های حجمی محیطی استفاده کرد.

۲. تجهیزات آزمایشگاهی

۱.۲. مشخصات آشکارساز

آشکارساز مورد استفاده در این پژوهش، آشکارساز ژرمانیوم فوق خالص (HPGe) مدل GMX40P4-76 شرکت ORTEC می‌باشد. این آشکارساز هم محور، ته بسته، گوشه گرد و از نوع n است که مشخصات آن به قرار زیر می‌باشد:

۱) بازده نسبی آن $40 \text{ درصد در انرژی } 1332 \text{ keV}$ برای کیالت 60 است.

۲) قدرت تفکیک این آشکارساز در انرژی 59 keV برابر 59 keV و در انرژی 1332 keV برابر 760 eV است.

۳) قطر کریستال ژرمانیوم فوق خالص آن 60 mm و طول آن $71/1 \text{ mm}$ می‌باشد.

۴) قطر حفره‌ی داخلی کریستال 9 mm و طول آن $63/1 \text{ mm}$ است.

۵) نوع ماده‌ی پنجره‌ی آشکارساز، برلیوم با ضخامت 0.5 mm است.

۶) لایه‌ی مرده‌ی داخلی با ضخامت $700 \mu\text{m}$ ایجاد شده با لیتیوم است.

امروزه در علوم هسته‌ای طیف‌سننجی پرتوهای گاما دارای اهمیت بسیاری است. یکی از ابزارهای دقیق در طیف‌سننجی گاما برای بررسی عناصر پرتوزای طبیعی و مصنوعی و همچنین تعیین فعالیت آن‌ها در نمونه‌های محیطی حتی به مقدار خیلی کم، آشکارساز HPGe است [۲، ۱]. در مراکز تحقیقاتی برای بررسی این نمونه‌های محیطی از چشمی‌های استاندارد هم‌جنس و هم‌شکل با این نمونه‌ها برای تعیین بازده آشکارساز استفاده می‌شود. بازده آشکارساز HPGe وابستگی شدیدی به انرژی گاما تابشی و هندسه‌ی آشکارساز- چشمی دارد. بی‌تردید بهترین روش برای تعیین دقیق بازده آشکارساز، استفاده از روش تجربی می‌باشد، اما در این روش به علت یک سری از مشکلات مانند وقت‌گیر بودن اندازه‌گیری و هزینه‌ی بالای تهیه‌ی چشمی‌های استاندارد، استفاده از روشی جایگزین مانند روش شبیه‌سازی مقرن به صرفه است [۳-۷]. با داشتن طیف شبیه‌سازی شده‌ی چشمی‌های استاندارد که در مقایسه با طیف تجربی صحت آن تأیید شده باشد، می‌توان در این هزینه‌ها صرفه‌جویی کرد.

به علاوه با استفاده از طیف شبیه‌سازی شده، می‌توان بازده آشکارساز را در هر انرژی حتی خارج از گستره‌ی انرژی‌های چشمی استاندارد محاسبه کرد. برای شبیه‌سازی آشکارساز به اطلاعات دقیقی از جمله اندازه و جنس اجزاء مختلف نیاز است که این اطلاعات از کاتالوگ مربوط به شرکت سازنده استخراج شده است [۸، ۹]. در این پژوهش با استفاده از کد مونت‌کارلوی MCNPX نسخه‌ی ۲/۶، آشکارساز HPGe هم محور از نوع n به همراه چشمی حجمی مرجع خاکی که توسط رادیو نوکلئیدهای ^{152}Eu و ^{137}Cs با فعالیت مشخص استاندارد شده است، شبیه‌سازی و از نتایج آن در محاسبه بازده آشکارساز در گستره‌ی انرژی 121 keV تا 1408 keV بهره گرفته شد. پس از آن نتایج حاصل از شبیه‌سازی با نتایج

جلوگیری از تأثیر چشممه‌های خارجی در اطراف آشکارساز، از یک حفاظ سربی به ضخامت $9/8\text{ cm}$ و در داخل این حفاظ برای کاهش پرتوهای ثانویه‌ی تولید شده از سرب، از یک لایه‌ی مسی به ضخامت 2 mm استفاده شده است که هر دو ضخامت در برنامه‌ی شبیه‌سازی لحاظ گردید.

۷) لایه‌ی مرده‌ی خارجی ایجاد شده با بور به ضخامت $0/3\text{ }\mu\text{m}$ می‌باشد.

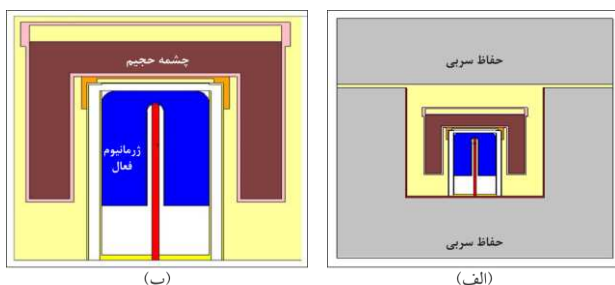
۸) طول محافظ آلومینیومی داخلی 105 mm است.

۹) بر روی کریستال لایه‌ای به ضخامت $0/03\text{ mm}$ آلومینیوم و بر روی آن لایه‌ای با همین ضخامت از جنس مایلار می‌باشد. در آزمایشگاه برای کاهش میزان تابش‌های زمینه و

جدول (۱): مشخصات چشممه‌های استفاده شده در این پژوهش.

نوع رادیوایزوتوپ	نیمه عمر برحسب سال	تاریخ تولید	فعالیت در زمان تولید برحسب بکرل	تاریخ طیف گیری	فعالیت در زمان طیف گیری برحسب بکرل
چشممه‌ی حجم خاکی در ظرف مارینلی	137Cs	$30/08$	2960 ± 37	$2018/2$ /ژوئن	2854 ± 36
چشممه‌ی شبه نقطه‌ای	152Eu	$12/517$	740 ± 37	$2018/29$ /مای	682 ± 34
	152Eu	$12/517$	337000 ± 10110	$2018/29$ /مای	283489 ± 8505

است، نیاز به اندازه‌های دقیق و مواد تشکیل دهنده آشکارساز و چشممه می‌باشد که در مورد آشکارساز از کاتالوگ شرکت سازنده استفاده شد. اما در مورد چشممه اندازه‌های ظرف از طریق اندازه‌گیری ابعاد یک ظرف مارینلی مشابه و برای معرفی آنالیز خاک (چون اطلاعاتی در مورد آنالیز خاک چشممه در دسترس نیست) در کد از داده‌های مربوط به آزمایشگاه لوس‌آلاموس آمریکا استفاده شد [۱۰]. شکل ۱ تصاویر شبیه‌سازی مربوط به کل فضای مورد بررسی را نشان می‌دهد.



شکل (۱): تصویر (الف) نشان دهنده‌ی کل فضای مورد بررسی شامل

حافظه‌ها، آشکارساز و چشممه است و تصویر (ب) نشان دهنده‌ی جزئیات آشکارساز و چشممه از نزدیک می‌باشد که شامل ظرف مارینلی، خاک چشممه، درپوش پلی اتیلنی، پنجه برليومی، حفاظه‌ای آلومینیومی خارجی و داخلی، قسمت فعل کریستال زرمانیوم و لوله‌ی مسی است.

۲.۲. چشممه‌های مورد استفاده در این پژوهش

چشممه‌های مورد استفاده در این تحقیق، یکی چشممه‌ی حجم مرتع خاکی در ظرفی مارینلی می‌باشد که با سه رادیونوکلئید 137Cs و 152Eu با فعالیت‌های به ترتیب $0/08$ و $0/02$ میکروکوری و به صورت مخلوطی همگن با خاک چشممه استاندارد شده و تاریخ تولید این چشممه 31 اکتبر 2016 است. چشممه‌ی دیگر مورد استفاده در این پژوهش، یک چشممه‌ی شبه نقطه‌ای یوروپیوم 152 می‌باشد که فعالیت آن در زمان تولید 337 KBq بوده است. به این علت شبه نقطه‌ای بیان شد که این چشممه دارای قطری به اندازه‌ی 3 mm است. جزئیات مرتبط با این چشممه‌ها در جدول ۱ آمده است.

۳. روش شبیه‌سازی

کد مورد استفاده برای شبیه‌سازی در این پژوهش، کد MCNPX نسخه‌ی $2/6$ می‌باشد. چون تعیین بازده به شدت وابسته به هندسه و مواد تشکیل دهنده فضای مورد بررسی

هستند که به ترتیب بر حسب $\text{MeV}^{1/2}$ ، MeV و MeV^{-1} باید تعیین گردد، بر این اساس باید داده‌های ورودی (انرژی‌ها و FWHM ‌ها) برای برآش کردن بر حسب MeV باشند. مقدار این ضرایب برای طیف چشمی حجمی برابر است با:

$$\begin{aligned} a &= 1.043 \times 10^{-3} \text{ MeV} \\ b &= 4.984 \times 10^{-4} \text{ MeV}^{1/2} \\ c &= 3.762 \text{ MeV}^{-1} \end{aligned}$$

و برای طیف چشمی نقطه‌ای در فاصله‌ی 35 cm برابر است با:

$$\begin{aligned} a &= 1.108 \times 10^{-3} \text{ MeV} \\ b &= 5.99 \times 10^{-4} \text{ MeV}^{1/2} \\ c &= 1.602 \text{ MeV}^{-1} \end{aligned}$$

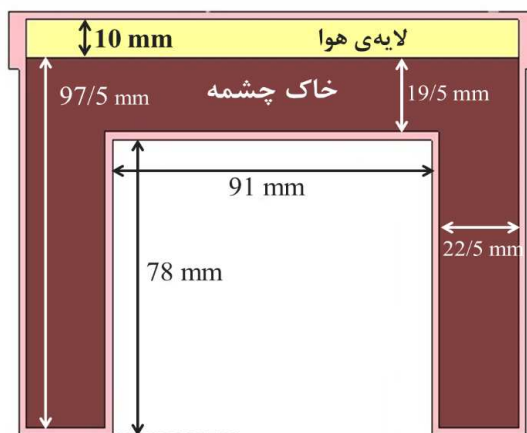
۴. نحوه تعیین بازده

بازده آشکارساز HPGe به شدت به انرژی فوتون و هندسه‌ی سیستم آشکارساز-چشمی وابسته است. در مورد چشمی حجمی صحبت از بازده ذاتی بی معنا است و در این پژوهش برای چشمی حجمی و نقطه‌ای فقط بازده مطلق محاسبه شده است که در روش تجربی از رابطه‌ی زیر به دست می‌آید [۱، ۲]:

$$\varepsilon = \frac{N}{A I_\gamma T} \quad (2)$$

در این رابطه ε بازده، N تعداد شمارش خالص زیر قله‌ی فوتوفیک هر انرژی، A فعالیت چشمی بر حسب بکرل، T زمان طیف‌گیری بر حسب ثانیه و I_γ احتمال گسیل اشعه‌ی گاما و یا به عبارتی درصد انشعاب می‌باشد. در این رابطه، برای مقدار A از فعالیت در زمان طیف‌گیری استفاده شد (جدول ۱). زمان طیف‌گیری نیز به دلیل ضعیف بودن فعالیت‌های چشمی حجمی، ۶۰۰۰ ثانیه در نظر گرفته شد تا یک طیف با تعداد ذرات مناسب برای بررسی بازده آشکارساز به دست آید. اما در روش شبیه‌سازی پس از اجرای برنامه، کد MCNP نتایج را در یک فایل متنه ارائه می‌دهد که حاوی مطالب گوناگونی

با توجه به شکل ۲ به خاطر هندسه‌ی ظرف مارینلی در تعریف چشمی در کد، چشمی به دو قسمت تقسیم شد، یکی پوسته‌ای استوانه‌ای شکل به ارتفاع $9/75 \text{ cm}$ و ضخامتی از شعاع $4/75 \text{ cm}$ تا 7 cm (این شعاع‌ها با درنظر گرفتن ضخامت ظرف و از محور عمودی بر روی مرکز ظرف مارینلی که محور استوانه نیز هست، تعیین می‌شود) و دومین بخش به صورت یک استوانه در وسط سطح مقطع ظرف مارینلی و در بالای آن به ارتفاع $1/95 \text{ cm}$ و به شعاعی از صفر تا $4/75 \text{ cm}$. اما برای اینکه طیف حاصل از شبیه‌سازی برای تطابق بیشتر با طیف تجربی به صورت گاؤسی باشد، باید FWHM یا میزان پهن شدگی هرقله در طیف لحاظ شود که این کار به وسیله کارت GEB انجام می‌گیرد.



شکل (۲): ابعاد چشمی حجمی استاندارد خاکی

کد MCNP از طریق کارت GEB پهنانی کامل در نیم‌پیشینه توزیع (FWHM) را از طریق رابطه ۱ محاسبه می‌کند [۱۱]:

$$\text{FWHM} = a + b\sqrt{E + cE^2} \quad (1)$$

در کارت GEB باید ضرایب a ، b و c را تعریف کرد. برای تعیین مقدار این ضرایب باید FWHM چند قله‌ی تمام انرژی را بعد از کالیبراسیون طیف تجربی مشخص و بعد نسبت به رابطه‌ی ۱ برای نقاط به دست آمده در نمودار FWHM بر حسب انرژی برآش گیری کرد. a و b و c مقادیر ثابتی

در این رابطه I_γ احتمال گسیل ذره به ازای انرژی مدنظر می‌باشد. در مورد تمام رادیونوکلئیدها و به خصوص رادیونوکلئیدهایی مثل یوروپیوم که چندین گاما گسیل می‌کنند، به ازای یک واپاشی مجموع درصدهای انشعاب^۱ بیشتر یا کمتر از یک است و کد MCNP مجموع این احتمال‌ها را در هر دو صورت بهنجار به یک می‌کند. پس در محاسبه‌ی بازده شبیه‌سازی برای I_γ در رابطه‌ی 3 باید از احتمال بهنجار شده استفاده کرد. برای یوروپیوم در سایت‌های مرجع در حدود ۱۷۳ گاما‌ی گسیلی ذکر شده بود که مجموع درصدهای انشعاب آن‌ها به ازای یک واپاشی $1/59335$ می‌شود و در برنامه از تمام این گاماها استفاده شد. در مورد سزیوم هم برای انرژی $661/657 \text{ keV}$ از احتمال $1/851$ استفاده شد. ارزش نتایج شبیه‌سازی به اعتبارسنجی این نتایج با مقدارهای تجربی می‌باشد. نتایج حاصل از این دو روش برای چشم‌های حجمی در جدول ۲ و نمودار شکل 3 و برای چشم‌های نقطه‌ای در جدول ۳ و نمودار شکل 4 قابل ملاحظه است.

می‌باشد. یکی از مهم‌ترین بخش‌ها، مقدار تالی به ازای هر انرژی است. نکته‌ی مورد توجه در اینجا این است که در این پژوهش از تالی F8 استفاده شده است که در واقع مقدار فراوانی ذرات ثبت شده برای هر انرژی در هر سلول را بیان می‌کند. باید توجه کرد که عدد تالی به ازای هر انرژی، مقدار نسبت N به A را می‌دهد که در آن N تعداد ذره‌ی ثبت شده به ازای انرژی مورد نظر و A به نوعی فعالیت کل یا nps یا تعداد ذراتی است که برنامه برای آن اجرا شده است، در واقع برنامه‌ی MCNP مقدار خروجی برای هر انرژی را به ازای یک ذره به ما می‌دهد یعنی $A=1$ و N همان مقدار تالی است. با معلوم بودن نسبت N به A، از رابطه‌ی 3 می‌توان بازده مطلق برای چشم‌های خاکی موجود در ظرف مارینلی با مشخصات داده شده را حساب کرد:

$$\varepsilon = \frac{N}{A I_\gamma} \quad (3)$$

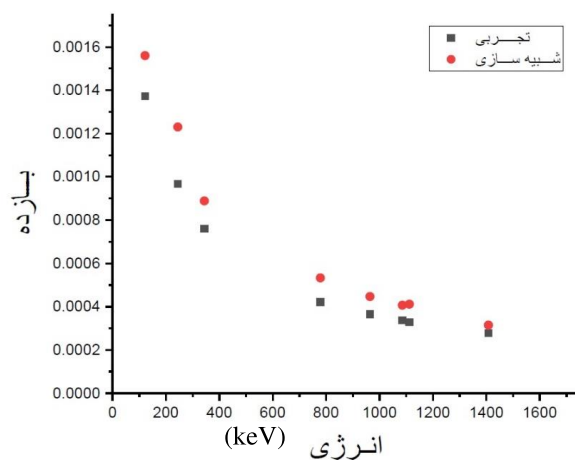
جدول (۲): مقایسه‌ی نتایج بازده تجربی و شبیه‌سازی مربوط به چشم‌های استاندارد حجمی.

درصد اختلاف	بازده شبیه‌سازی	بازده تجربی	درصدهای انشعاب	انرژی بر حسب keV
۱۲/۶	۰/۰۵۴۸	$0/0479 \pm 0/0036$	۰/۲۸۵۳	۱۲۱/۷۸۱
۳۱/۷	۰/۰۴۷۹	$0/0327 \pm 0/0024$	۰/۰۷۵۵	۲۴۴/۶۹۷
۴/۶	۰/۰۳۰۲	$0/0288 \pm 0/0026$	۰/۲۶۵۹	۳۴۴/۲۷۸
۷/۱	۰/۰۱۹۸	$0/0184 \pm 0/0005$	۰/۸۵۱	۶۶۱/۶۵۷
۱۶/۳	۰/۰۱۷۸	$0/0149 \pm 0/0012$	۰/۱۲۹۳	۷۷۸/۹۰۴
۱۱/۵	۰/۰۱۴۸	$0/0131 \pm 0/0009$	۰/۱۴۵۱	۹۶۴/۰۵۷
۲/۹	۰/۰۱۳۸	$0/0134 \pm 0/0009$	۰/۱۰۱۱	۱۰۸۵/۸۳
۱۱/۹	۰/۰۱۳۵	$0/0119 \pm 0/0009$	۰/۱۳۶۷	۱۱۱۲/۰۷
۲/۸	۰/۰۱۰۵	$0/0101 \pm 0/0007$	۰/۲۰۸۷	۱۴۰۸/۰۱

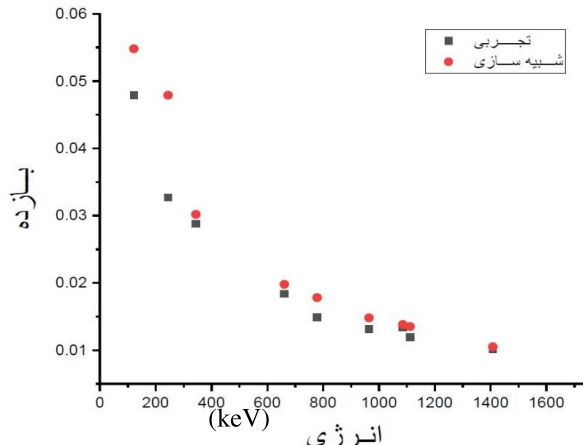
^۱ Branching ratio

جدول (۳): مقایسه نتایج بازده تجربی و شبیه‌سازی بروپیوم در فاصله‌ی ۳۵ سانتی‌متری از آشکارساز.

درصد اختلاف	بازده شبیه‌سازی	بازده تجربی	درصدی انتشار	انرژی بر حسب keV
۱۲/۱	۰/۰۰۱۵۶	۰/۰۰۱۳۷۱ \pm ۰/۰۰۰۸۷۲	۰/۲۸۵۳	۱۲۱/۷۸۱
۲۱/۴	۰/۰۰۱۲۳	۰/۰۰۰۹۶۷ \pm ۰/۰۰۰۰۵۹	۰/۰۷۵۵	۲۴۴/۶۹۷
۱۴/۵	۰/۰۰۰۸۸۸	۰/۰۰۰۷۵۹ \pm ۰/۰۰۰۰۶۱۵	۰/۲۶۵۹	۳۴۴/۲۷۸
۲۱/۰	۰/۰۰۰۵۳۳	۰/۰۰۰۴۲۱ \pm ۰/۰۰۰۰۲۹	۰/۱۲۹۳	۷۷۸/۹۰۴
۱۸/۳	۰/۰۰۰۴۴۷	۰/۰۰۰۳۶۵ \pm ۰/۰۰۰۰۲۰۸	۰/۱۴۵۱	۹۶۴/۰۵۷
۱۶/۷	۰/۰۰۰۴۰۶	۰/۰۰۰۳۳۸ \pm ۰/۰۰۰۰۱۹۶	۰/۱۰۱۱	۱۰۸۵/۸۳
۲۰/۲	۰/۰۰۰۴۱۱	۰/۰۰۰۳۲۸ \pm ۰/۰۰۰۰۲۱۶	۰/۱۳۶۷	۱۱۱۲/۰۷
۱۲/۱	۰/۰۰۰۳۱۵	۰/۰۰۰۲۷۷ \pm ۰/۰۰۰۰۱۴۶	۰/۲۰۸۷	۱۴۰۸/۰۱



شکل (۴): نمودار مقایسه نقطه‌ای بین بازده تجربی و شبیه‌سازی چشمی نقطه‌ای (مقدار خطای اندازه‌گیری شده کوچکتر از اندازه نمادهای بکار رفته برای نشان دادن نقاط تجربی است و مقدار خطای زیر ۱ درصد نمادهای بکار رفته برای نشان دادن نقاط تجربی است و مقدار خطای زیر ۱ درصد است).



شکل (۳): نمودار مقایسه نقطه‌ای بین بازده تجربی و شبیه‌سازی چشمی (مقدار خطای اندازه‌گیری شده کوچکتر از اندازه نمادهای بکار رفته برای نشان دادن نقاط تجربی است و مقدار خطای زیر ۱ درصد است).

- (۱) شاید مهم‌ترین دلیل وجود اختلاف بین بازده تجربی و شبیه‌سازی وجود قله‌های مجموع در طیف تجربی است.
- (۲) اگر بازه زمانی گسیل بین دو پرتو کمتر از قدرت تفکیک زمانی آشکارساز باشد، آشکارساز نمی‌تواند انرژی دو پرتو را جدا از هم بلکه به صورت یک قله واحد برابر با مجموع انرژی دو پرتو ورودی ثبت می‌کند.

با توجه به این داده‌ها همانطوری که انتظار می‌رفت، با افزایش انرژی پرتوی گسیل شده، بازده کمتر می‌شود. اگرچه سازگاری نسبتاً خوبی بین نتایج شبیه‌سازی و تجربی وجود دارد، لیکن همانطور که در جدول‌های ۲ و ۳ ملاحظه می‌شود بین نتایج تجربی و شبیه‌سازی اختلافاتی نیز وجود دارد که دلایل آن‌ها می‌تواند از موارد زیر باشد:

و بازده شبیه‌سازی را می‌توان به صورت زیر تعیین کرد:

$$\epsilon_{\text{sim}} = \frac{N}{AP}$$

در این رابطه P نشان دهندهٔ احتمال بهنجار شده در برنامه است. حال اگر مقدار خروجی برنامه که همان مقدار نسبت N به A است با R نشان داده می‌شود پس:

$$\epsilon_{\text{sim}} = \frac{R}{P}$$

در صورتی که اختلافات بین بازده تجربی و شبیه‌سازی در نظر گرفته نشود و با فرض یکسان بودن بازده تجربی و شبیه‌سازی نتیجه می‌شود:

$$\varepsilon_{\text{sim}} = \varepsilon_{\text{exp}} \xrightarrow{\frac{R}{P}} \frac{N}{AI} \Rightarrow$$

$$A = \frac{NP}{RI} \quad (\xi)$$

برطبق رابطه ۴ می توان فعالیت هر چشمه‌ای را با توجه به
داده‌های تجربی و شبیه‌سازی مرتبط با آن چشمeh محاسبه کرد.
حال اگر این رابطه برای چشمه‌ی نقطه‌ای با اندیس صفر
مشخص شود، از تقسیم فعالیت چشمه‌ی حجمی به فعالیت
چشمه‌ی نقطه‌ای رابطه‌ی ۵ حاصل می‌شود:

$$A = A_0 \frac{N}{N_0} \frac{R_0}{R} \frac{P}{P_0} \frac{I_0}{I} \quad (5)$$

این رابطه برای چشمه‌های با رادیونوکلئیدهای متفاوت و پرتوهای گسیلی با انرژی‌های مختلف قابل استفاده است. در صورتی که رادیونوکلئید هر دو چشمه یکسان باشد، برای انرژی‌های یکسان احتمال‌ها حذف می‌شود و رابطه‌ی زیر به دست می‌آید:

$$A = A_0 \frac{N}{N_0} \frac{R}{R_0} \quad (7)$$

جدول ۴ نتایج محاسبه‌ی فعالیت سزیوم چشم‌های حجمی را از طریق فعالیت چشم‌های نقطه‌ای یوروپیوم با استفاده از رابطه‌ی

۵ جدول ۵ نتایج محاسبه‌ی فعالیت بوروبیوم چشم‌های حجمی

دومین دلیل مهم البته در مورد چشمهدی حجیم نداشتن آنالیز خاک چشمهدی است که ممکن است در این خاک عنصری وجود داشته باشد که در آزمایشگاه باعث جذب پرتو می‌شود و به دلیل پلمنپ بودن چشمهدی، امکان نمونه برداری برای گرفتن یک طیف XRD وجود نداشت، هرچند در صورت امکان نمونه برداری، برای حفظ محیط زیست به علت پخش شدن مواد رادیواکتیو در محیط، اجازه قانونی برای این کار وجود نداشت.

۴) سومین دلیل وجود اطلاعات ناقص در مورد پیکربندی داخلی آشکارساز است که شرکت سازنده این اطلاعات را به صورت محرومانه نگهداری می‌کند و اطلاعات ما در مورد داخل آشکارساز برگرفته از مقاله‌ها و یک سری از اطلاعاتی است که شرکت سازنده منتشر کرده است.

(۵) در شیوه سازی هندسه‌ی ظرف مارینلی چشهی
حجیم به صورت دقیق طراحی شده ولی در واقعیت
این ظرف در برخی سطوح دارای انحنای در خم‌ها
دارد، تبعض ضخامت و حجم کم باشد.

۶) کم بودن فعالیت رادیونوکلئیدهای چشم‌های حجمی نیز باعث از خطا در ارزانگی هم شده.

(۷) تغییر ضخامت لایه‌های مرده که می‌تواند موجب تغییرات اندکی در حجم فعال آشکارساز شود.

۵. نحوه محاسبه فعالیت چشم‌های جیم از طریق

فعالیت چشمہ نقطه‌ای

همانطور که بیان شد بازده تجربی را می‌توان از طریق رابطه‌ی زیر محاسبه کرد:

$$\epsilon_{\text{exp}} = \frac{N}{AI}$$

طیف‌گیری تفاوت وجود دارد که این اختلاف به علت تفاوت بین بازده‌های تجربی و شبیه‌سازی است. فرض ما در به دست آوردن رابطه‌ی ۵ یکسان بودن این بازده‌ها بود.

را از طریق فعالیت چشم‌های نقطه‌ای یوروپیوم با استفاده از رابطه‌ی ۶ نشان می‌دهند. همانطوری که ملاحظه می‌شود بین فعالیت‌های به دست آمده با فعالیت محاسبه شده در زمان

جدول (۴): نتایج محاسبه‌ی فعالیت سزیوم چشم‌های حجمی توسط چشم‌های نقطه‌ای یوروپیوم در فاصله‌ی ۳۵ سانتی‌متر.

سزیوم دارای یک قله‌ی تمام انرژی در $661/657 \text{ keV}$ با درصد انشعاب $851/0$ است. شمارش خالص در ثانیه زیر قله‌ی تمام انرژی در طیف تجربی برابر $44/68$ می‌باشد. احتمال بهنجار شده برابر آن در برنامه‌ی شبیه‌سازی ۱ است.

انرژی بر حسب keV	احتمال‌های بهنجار شده		فعالیت سزیوم چشم‌های حجمی بر حسب بکرل	
	در صد انشعاب برای پرتوهای گسلی یوروپیوم	در شبیه‌سازی		
۱۲۱/۷۸۱	۰/۲۸۵۳	۰/۱۷۹۱	۱۱۰/۹۱	۳۰۲۰ ± ۹۱
۲۴۴/۶۹۷	۰/۰۷۵۵	۰/۰۴۷۳۸	۲۰/۷	۳۳۸۳ ± ۱۰۲
۳۴۴/۲۷۸	۰/۰۲۶۰۹	۰/۱۶۶۹	۵۷/۲۵	۳۱۰۴ ± ۹۳
۷۷۸/۹۰۴	۰/۱۱۲۹۳	۰/۰۸۱۱۵	۱۵/۴۳	۳۳۶۳ ± ۱۰۱
۹۶۴/۰۵۷	۰/۱۴۵۱	۰/۰۹۱۰۷	۱۵/۰۳	۳۲۴۸ ± ۹۸
۱۰۸۵/۸۳	۰/۱۰۱۱	۰/۰۶۳۴۵	۹/۷	۳۱۸۳ ± ۹۶
۱۱۱۲/۰۷	۰/۱۳۶۷	۰/۰۸۵۸	۱۲/۷۱	۳۳۲۷ ± ۱۰۰
۱۴۰۸/۰۱	۰/۲۰۸۷	۰/۱۳۱	۱۶/۳۸	۳۰۲۵ ± ۹۱

فعالیت محاسبه شده سزیوم چشم‌های حجمی در زمان طیف‌گیری برابر 2854 بکرل می‌باشد.

میانگین فعالیت: ۳۲۰۶

جدول (۵): نتایج محاسبه‌ی فعالیت یوروپیوم چشم‌های حجمی توسط چشم‌های نقطه‌ای یوروپیوم در فاصله‌ی ۳۵ سانتی‌متر.

انرژی بر حسب keV	شمارش خالص فوتوپیک چشم‌های حجمی در ثانیه		فعالیت یوروپیوم چشم‌های حجمی بر حسب بکرل
	شمارش خالص فوتوپیک چشم‌های در ثانیه	نقطه‌ای در ثانیه	
۱۲۱/۷۸۱	۹/۳۲	۱۱۰/۹۱	۷۷۷ ± ۲۰
۲۴۴/۶۹۷	۱/۶۹	۲۰/۷	۵۹۴ ± ۱۸
۳۴۴/۲۷۸	۰/۲۳	۵۷/۲۵	۷۶۱ ± ۲۳
۷۷۸/۹۰۴	۱/۳۲	۱۵/۴۳	۷۲۵ ± ۲۲
۹۶۴/۰۵۷	۱/۳	۱۵/۰۳	۷۳۹ ± ۲۲
۱۰۸۵/۸۳	۰/۹۲۲	۹/۷	۷۹۱ ± ۲۴
۱۱۱۲/۰۷	۱/۱۱	۱۲/۷۱	۷۰۱ ± ۲۳
۱۴۰۸/۰۱	۱/۴۳	۱۶/۳۸	۷۴۶ ± ۲۳

فعالیت محاسبه شده یوروپیوم چشم‌های حجمی در زمان طیف‌گیری برابر 682 بکرل می‌باشد.

میانگین فعالیت: ۷۲۳

۶. نتیجه‌گیری

کرد. مورد دیگر این که چون تهیه‌ی چشم‌های استاندارد برای مراکز تحقیقاتی هزینه‌های زیادی دارد، این مراکز می‌توانند از کد شبیه‌سازی برای مقاصد خود استفاده نمایند، البته این مراکز می‌توانند با در اختیار داشتن این چشم‌ه و برای آشکارسازهای خود این مراکز شبیه‌سازی را انجام دهند و بعد چشم‌ه را به آزمایشگاه دانشگاه تحويل دهند.

اما در مورد قسمت دوم این پژوهش که از آن نتایج نسبتاً خوبی به دست آمد، با استفاده از طیف تجربی و شبیه‌سازی می‌توان فعالیت چشم‌هی حجمی را از چشم‌هی نقطه‌ای و چشم‌هی نقطه‌ای را از چشم‌هی حجمی توسط روابط ۵ و ۶ محاسبه کرد. از این روش می‌توان در تعیین فعالیت رادیونوکلئیدهای موجود در نمونه‌های حجمی مجھول محیطی توسط چشم‌هی نقطه‌ای استفاده کرد.

در این پژوهش بازده قله‌های فوتوفیک برای چشم‌هی حجمی استاندارد خاکی موجود در آزمایشگاه هسته‌ای دانشکده‌ی فیزیک دانشگاه صنعتی اصفهان برای آشکارساز HPGe موجود در همین آزمایشگاه به روش تجربی و شبیه‌سازی تعیین گردید. با توجه به نتایج به دست آمده در شبیه‌سازی و توافق خوب آن‌ها با نتایج تجربی می‌توان از شبیه‌سازی در زمان کمتر و برای هر انرژی بازده را محاسبه کرد. معمولاً به علت نیمه‌عمر مواد پرتوزا بعد از گذشت مدتی فعالیت چشم‌هی موردنظر کاهش یافته و محاسبه‌ی بازده در روش تجربی با خطأ روبرو می‌شود در صورتی که در شبیه‌سازی نیازی به فعالیت نیست. از مزایای دیگر شبیه‌سازی این است که می‌توان بازده‌ی انرژی برای هر محدوده‌ای تعیین شود و بعد از کالیبره کردن طیف بر حسب انرژی، سایر پیک‌های موجود در طیف نمونه‌های مجھول هم شکل با نمونه‌ی استاندارد را بررسی

۷. مراجع

- [1] G.F. Knoll. *Radiation detection and Measurement*, 3rd Edition, John Wiley & Sons, Inc, (2000).
- [2] N. Soulfanidis. *Measurement and detection of radition*, Hemisphere Publishing Corporation, New York, (1983).
- [3] T. Nakamura and T. Suzuki. Monte Carlo calculation of peak efficiencies of Ge(Li) and pure Ge detectors to voluminal sources and comparison with environmental radioactivity measurement. *Nuclear Instruments and Methods*. 205 (1983) 211–218.
- [4] I.O.B. Ewa, D. Bodzis, Sz. Czifrus and Zs. Molnar. Monte Carlo determination of full energy peak efficiency for a HPGe detector. *Applied Radiation and Isotopes*. 55 (2001) 103–108.
- [5] C.S. Park, G.M. Sun and H.D. Choi. Experimental and simulated efficiency of a HPGe detector in the energy range of 0.06–11 MeV. *Journal of the Korea Nuclear Society*. 3 (2003) 234–242.
- [6] F. Xie, W. Jiang, T. Bai and G. Yu. A study on activity determination of volume sources using point-like standard sources and Monte Caro simulations. *Radiation Physics and Chemistry*. 103 (2014) 53–56.
- [7] M.R. Zare, M. Kamali, Z. Omidi and M. Fallahi Kapourchali. Designing and producing large-volume liquid gamma-ray standard sources for low radioactive pollution measurements of seawater samples by comparison between experimental and simulation results. *Measurement*. 90 (2016) 412–417.
- [8] S. Gallardo, A. Querol, J. Ortiz, J. Rodenas, G. Verdu and J.F. Villanueva. Uncertainty analysis in environmental radioactivity measurements using the Monte Carlo code MCNP5. *Radiation Physics and Chemistry*. 116 (2015) 214–218.
- [9] GMX Series Coaxial HPGe Detector Product Configuration Guide, ORTEC.
- [10] Radiation Portal Monitor Project Compendium of Material Composition Data for Radiation Transport Modeling, PIET-43741-TM-963 and PNNL-15870 Rev. 1, Homeland Security (2011).
- [11] G.R. Gilmore. *Practical Gamma-ray Spectrometry*, 2nd Edition, John Wiley & Sons (2008).